

1. Poolittle equation 으로부터,

$$\ln \eta = B \left(\frac{V_0}{V_f} \right) + \ln A \quad \text{인데},$$

$$\text{fractional free volume } f = \frac{V_f}{V_0 + V_f} \approx \frac{V_f}{V_0} \text{ 이고,}$$

(10)

$$\ln \eta_1 = B \frac{1}{f_1} + \ln A \text{ 이다.}$$

$$\ln \eta_2 = B \frac{1}{f_2} + \ln A \text{ 의 식에서 아래 식을 빼면,}$$

$$\ln \frac{\eta_1}{\eta_2} = B \left(\frac{1}{f_1} - \frac{1}{f_2} \right) \text{ 인데.}$$

$$\text{문제에서 } f = -\frac{B}{12((T-T_n)/T_n)} \text{ ③ } \text{ 주어졌다. 대입하면,}$$

$$\ln \frac{\eta_1}{\eta_2} = B \left(-\frac{12 \ln ((T_1-T_n)/T_n)}{B} + \frac{12 \ln ((T_2-T_n)/T_n)}{B} \right)$$

$$= -12 \left[\ln \frac{T_1-T_n}{T_n} - \ln \frac{T_2-T_n}{T_n} \right]$$

$$= -12 \ln \frac{T_1-T_n}{T_2-T_n} \text{ 이 된다.}$$

$$T_2 = T_g = 293.2K, \eta_2 = 1.03 \times 10^{14} \text{ Pa}\cdot\text{s} \text{ 라 하고,}$$

$$T_1 = 313.2K, T_n = 263.6K \text{ ③ 주어졌다.}$$

$$\ln \frac{\eta_1}{\eta_2} = -12 \cdot \ln \frac{313.2 - 263.6}{293.2 - 263.6} = -19.7$$

$$\Rightarrow \eta_1/\eta_2 = e^{-19.7} = 2.76 \times 10^{-9} \text{ 이고,}$$

$$40^\circ\text{C} \text{에서 viscosity는 } \eta_1 = 2.76 \times 10^9 \eta_2 = 2.85 \times 10^5 \text{ Pa}\cdot\text{s} \text{ 이다.}$$

2. Theories on glass-transition temperature

(10)

① Free volume theory

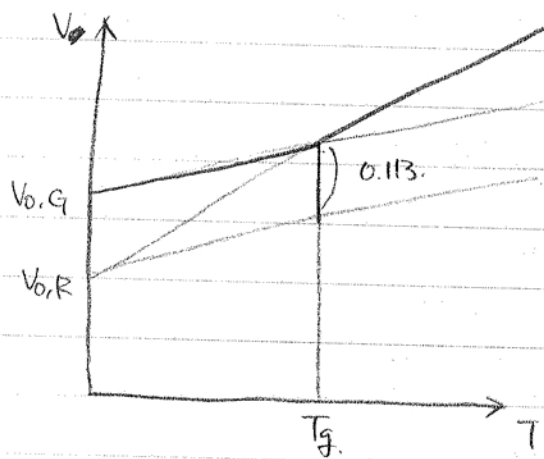
Free volume theory에서는 segmental scale의 void를 가정한다. (free-volume)
그리고 specific volume와 온도와의 관계, 그리고 온도에 따른 viscosity
의 관계식을 유도해보자.

Specific volume의 expansion은 Simha & Boyer에 의해서 다음과 같이
구해졌다.

$$V_f = K + (\alpha_R - \alpha_G)T \quad (\text{Fox, Flory (1950)})$$

(K는 0K에서 free volume, α_R, α_G 는 각각 rubbery/glassy state의
thermal expansion coefficient).

Flory & Fox의 식으로부터, Simha & Boyer는 T_g 에서의 K값을 실험으로
3부터 찾았다.



$$(\alpha_R - \alpha_G)T_g = K_1 = 0.113$$

즉, T_g 에서 free volume의 fraction
은 universal하게 11.3%라는 것을
결론내었다.

으로서
###

Viscosity 증은 WLF (Williams-Landel-Ferry) equation ~~으로서~~
대표된다.

Doolittle equation $\ln \eta = B \left(\frac{V_0}{V_f} \right) + \ln A$ 으로부터, 긴 과정을 거
쳐서 WLF equation

$$\ln \frac{\eta}{\eta_g} = - \frac{17.44(T-T_g)}{51.6 + T - T_g} \quad \text{가 유도되었다.}$$

위 식은 실험으로부터 결정된 universal한 결과이다.

② Kinetic theory.

Kinetic theory의 Iso-free-volume theory에 의하면 T_g 는 결국 실험을 하는 heating rate에 민감한 parameter임을 알 수 있다. 결국 T_g 는 kinetic 현상이라는 것이다.

Kinetic theory에서는 free volume (hole)의 평형으로 접근하는 ~~rate를~~ 다른 Kinetic theory로부터는 T_g 주위의 heat capacity에 대한 정량적인 값과 실험이 진행되는 시간에 따라 T_g 가 10년동안 6-7°C 정도 변환라는 것을 예측할 수 있다.

Kinetic theory로부터 실제 실험에 사용되는 (특정되는) non-equilibrium T_g 값의 의미를 찾을 수 있어 실용적이다. 하지만 Kinetic theory는 고온 상태(궁극적인)에 대한 정보는 주지 않는다.

③ Thermodynamic theory.

Thermodynamic theory에서는 무한히 긴 시간 스케일에서 실험을 진행하면 결국은 평형에 도달하고, 2nd-order transition (S, V 의 T, p 에 대한 미분이 부연속이지만 S, V 자체는 연속인) 가 나타난다는 것을 가정하고 있다.

아주 천천히 실험을 진행하면 sample은 crystal보다 entropy가 negligible하게 높은 단계에 도달할 것이다. 이때의 T_g 는 보통 시간영역대의 T_g 에 비해 50% 가량 높은 윤도가 될 것이다. (Gibbs-DiMarzio theory)

이 Thermodynamic treatment에서 T_g 의 variation 이유에도 MW와 crosslink가 T_g 에 미치는 영향을 예측이 가능하다.

* 3가지 theory의 장·단점. (text. p. 395)

장점.

단점.

Free-volume theory

1. T_g 와 관련된 정밀성

상질의 T_g 와 힘수3서의 예측,

1. 실제 chain의 motion

과 다르다

2. T_g 주변의 팽창계수 예측

Kinetic theory

1. 실험 시간과 관련한 T_g shift의 정량적 결정

2. 열용량의 정량적 결정

1. 무한한 시간의 최종 T_g

를 결정할 수 있다

Thermodynamic theory

1. MW와 diluent, crosslinked 힘수3서의 T_g 예측

2. 실제 2nd-order transition temperature의 예측

1. 실험이 비현실적 시간 상정

2. 무한한 시간 후의 T_g 는

현실적 time-scale에서

가장 적은 상대임수밖에

없다